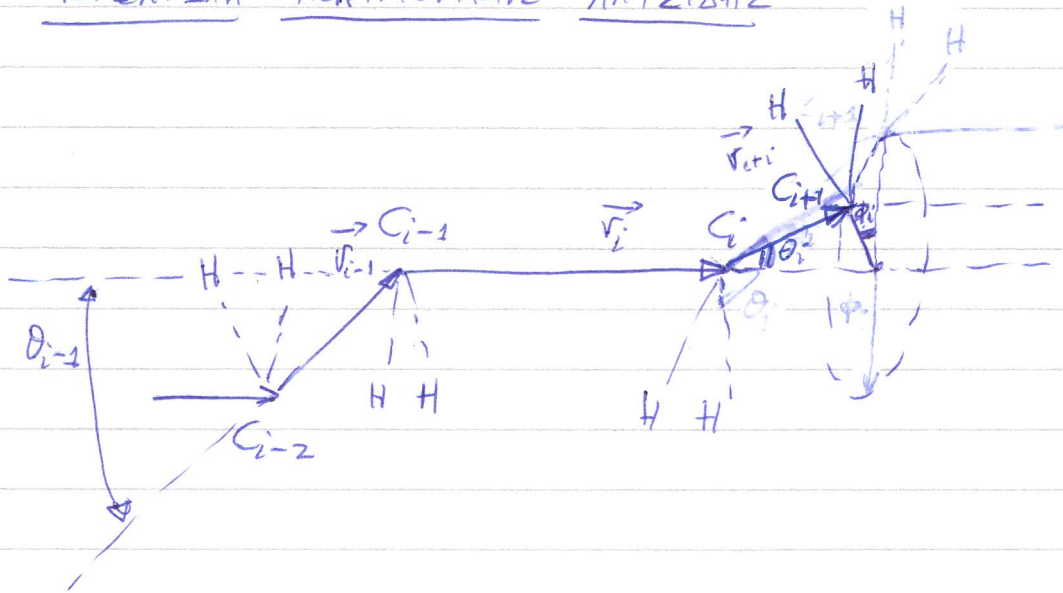
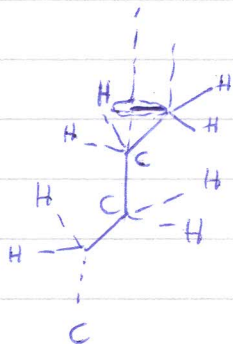


ΕΥΕΛΙΞΙΑ ΠΟΛΥΜΕΡΙΚΗΣ ΑΛΥΣΙΔΑΣ

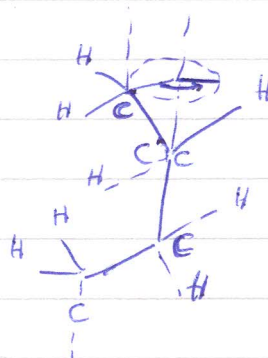


Η ευελιξία οφείλεται κυρίως στις γωνίες περιστροφής (torsion angles) ϕ_i . Γωνία δεσμού = θ_i .

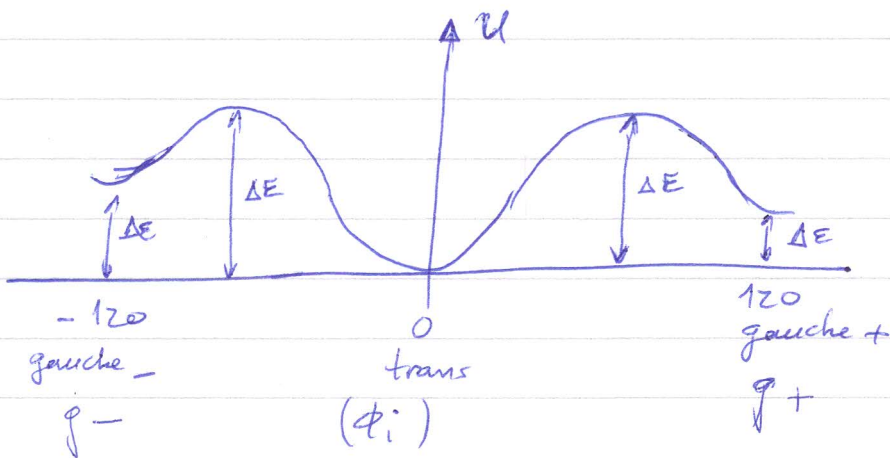
Όταν $\phi_i = 0 \Rightarrow \vec{r}_{i+1} \parallel \vec{r}_{i-1} \Rightarrow$ κατάσταση trans
 Αλλαγές ϕ_i οδηγούν σε ενεργειακές αλλαγές, (που οφείλονται σε αλλαγές στις κρούσεις, ουερνίς και αλληλεπιδράσεις, μεταξύ ατόμων άνθρακα και ατόμων υδρογόνου στη συγκεκριμένη σειρά (αλληλδα).



trans $\phi_i = 0^\circ$



gauche + $\phi_i = 120^\circ$

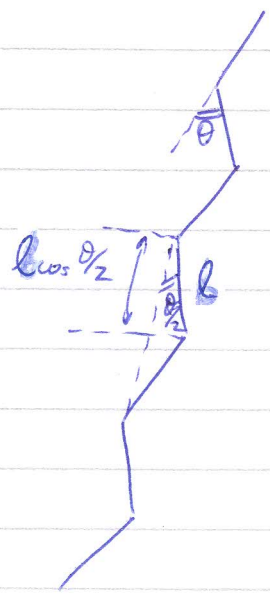


ΔE : σχετική πιθανότητα μιας ϕ_i να είναι σε gauche σε θερμική ισορροπία (εξαρτάται και από τις ϕ_i των γειτονικών μονομερών) — Rotational Isomeric State (Flory).

Για πενταθάνιο, $\Delta E = 0.8 kT$

ΔE : Δυναμική ανακατατάξεως διαμόρφωσης (trans-gauche).

Ένα τμήμα πολυμερικής αλυσίδας με διαδοχικές καταστάσεις trans έχει διαμόρφωση zig-zag (ραβδόμορφη).



Όταν όλες οι ϕ_i της αλυσίδας είναι trans, τότε η μέγιστη κρίσιση έκταση είναι:

$$r_{max} = N l \cos \frac{\theta}{2}$$

(N = αλυσίδα δεσμών)

r_{max} = μήκος "περιφέρειας" (contour length)

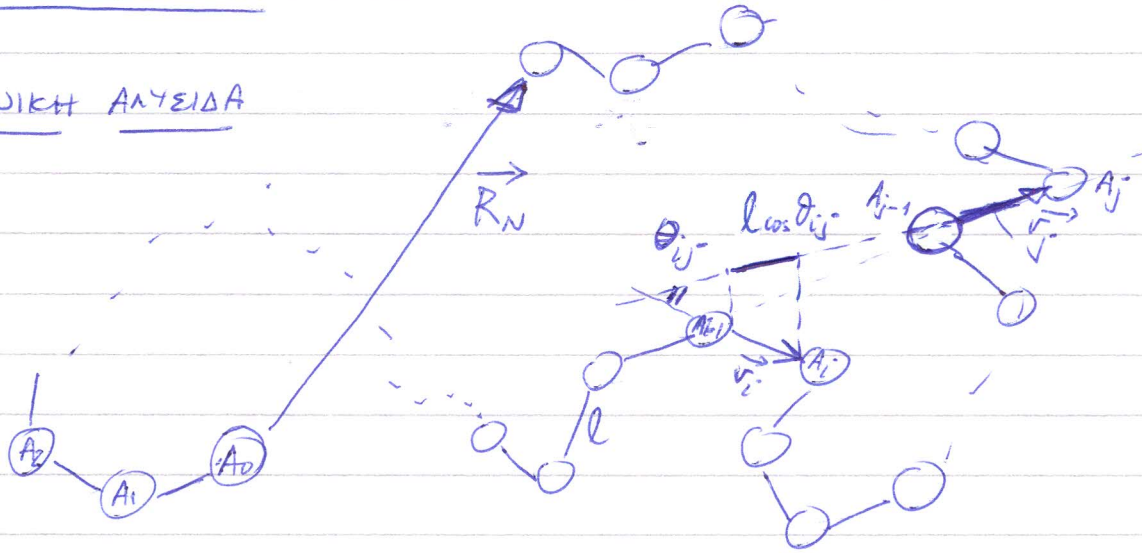
Οι καταστάσεις gauche προσκλίθουν ευεξία στην αλυσίδα και κάθε κατάσταση gauche αλλάζει τη διαμόρφωση zig-zag.

Για μήκος \ll τμήματος trans, η αλυσίδα είναι ραβδόμορφη. Για μεγαλύτερα μήκη, η παρεμβολή gauche, είναι ευεξία.

Συνεχείς trans διαμορφώσεις δεν υπερβαίνουν σίγουρα 10 δεσμούς.

ΔΙΑΜΟΡΦΩΣΕΙΣ

ΙΔΑΝΙΚΗ ΑΛΥΣΙΔΑ



Freely jointed chain model

$$l = |\vec{r}_i|$$

$$\begin{cases} \langle \cos \theta_{ij} \rangle = 0 & i \neq j \\ \cos \theta_{ij} = 1 & i = j \end{cases}$$

$$\langle R^2 \rangle = N l^2$$

Σε μία τυπική πραγματική κλωστή υπάρχουν συσχετίσεις μεταξύ δεσμών και $\langle \cos \theta_{ij} \rangle \neq 0$ (ιδιαίτερα για γειτονικά μονομερή).

Για μεγάλες κλωστές, $\lim_{|i-j| \rightarrow \infty} \langle \cos \theta_{ij} \rangle = 0$ (λόγω σφαιρικής)

Για κάθε διάνυσμα δεσμού i , $C_i' \equiv \sum_{j=1}^N \langle \cos \theta_{ij} \rangle$
(πλεερόκομος δείκτης)

$$\begin{aligned} \langle R^2 \rangle &\equiv \langle \vec{R}_N^2 \rangle = \langle \vec{R}_N \cdot \vec{R}_N \rangle = \left\langle \left(\sum_{i=1}^N \vec{r}_i \right) \cdot \left(\sum_{j=1}^N \vec{r}_j \right) \right\rangle \\ &= \sum_{i=1}^N \sum_{j=1}^N \langle \vec{r}_i \cdot \vec{r}_j \rangle \end{aligned}$$

$$\text{Όλα } l = |\vec{r}_i| \Rightarrow \vec{r}_i \cdot \vec{r}_j = l^2 \cos \theta_{ij}$$

$$\Rightarrow \langle R^2 \rangle = l^2 \sum_{i=1}^N \sum_{j=1}^N \langle \cos \theta_{ij} \rangle$$

$$\Rightarrow \langle R^2 \rangle = l^2 \sum_{i=1}^N C_i' = C_N N l^2$$

C_N = Flory characteristic ratio

$$C_N = \frac{1}{N} \sum_{i=1}^N C_i'$$

Μέσος όρος των C_i' για όλους τους δεσμούς της πολυμερικής αλυσίδας

Για όλα τα πολυμερή $C_N > 1$



Για μοντέλα ιδανικών αλυσίδων έχουμε ορισμένες παρατηρούμενες ανακρούσες σε μορφή σε μεγάλες κλίμακες, ουσιαστικά:

$$\langle R^2 \rangle = C_\infty N l^2$$

Παραγόμενες των εμπειριών C_∞ : καμικά, πλαστικές οφθαλμοί.

Γενικευμένη περιγραφή ιδανικών πολυμερών = ισοδύναμη ελεύθερα προσδεμένη αλυσίδα

(equivalent freely jointed chain)

$$\langle R^2 \rangle \longleftrightarrow \langle R_{max}^2 \rangle$$

↑ ισοδύναμη αλυσίδα N' δεσμοί μήκους b (Kuhn length)

$$N'b = R_{max}$$

$$\langle R^2 \rangle = N'b^2 = b R_{max} = C_\infty N l^2$$

Αν η ισοδύναμη αλυσίδα έχει $N' = \frac{R_{max}^2}{C_\infty N l^2}$ ισοδύναμους δεσμούς

(μορφή Kuhn) μήκους $b = \frac{\langle R^2 \rangle}{R_{max}} = \frac{C_\infty N l^2}{R_{max}}$

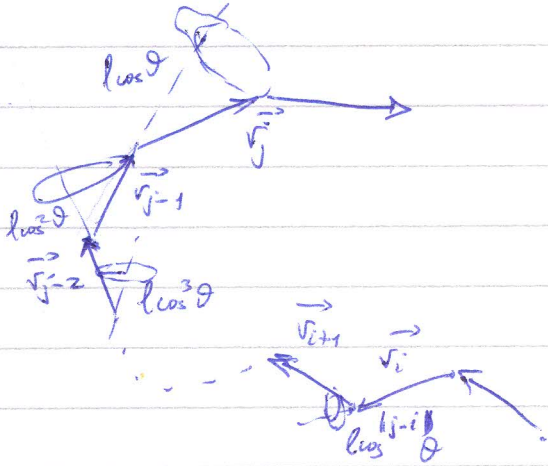
$$\eta' \quad \boxed{C_\infty = \frac{\langle R^2 \rangle}{N l^2}}$$

Freely Rotating Chain

Ελεύθερα περιστρεφόμενη αλυσίδα

Όλες οι γωνίες ϕ_i ίδια πιθανές.

$-\pi < \phi_i \leq \pi$ χωρίς ρυθμούς στο $\mathcal{U}(\phi_i)$



$$\langle R^2 \rangle = \langle \vec{R}_N \cdot \vec{R}_N \rangle = \sum_{i=1}^N \sum_{j=1}^N \langle \vec{r}_i \cdot \vec{r}_j \rangle$$

$$\langle \vec{r}_i \cdot \vec{r}_j \rangle = l^2 (\cos \theta)^{|j-i|}$$

$$\begin{aligned} \langle R^2 \rangle &= \sum_{i=1}^N \sum_{j=1}^N \langle \vec{r}_i \cdot \vec{r}_j \rangle = \sum_{i=1}^N \left(\sum_{j=1}^{i-1} \langle \vec{r}_i \cdot \vec{r}_j \rangle + \langle \vec{r}_i \cdot \vec{r}_i \rangle + \sum_{j=i+1}^N \langle \vec{r}_i \cdot \vec{r}_j \rangle \right) \\ &= \sum_{i=1}^N \langle \vec{r}_i \cdot \vec{r}_i \rangle + l^2 \sum_{i=1}^N \left(\sum_{j=1}^{i-1} (\cos \theta)^{i-j} + \sum_{j=i+1}^N (\cos \theta)^{j-i} \right) \\ &= N l^2 + l^2 \sum_{i=1}^N \left(\sum_{k=1}^{i-1} \cos^k \theta + \sum_{k=1}^{N-i} \cos^k \theta \right) \end{aligned}$$

$$(\cos \theta)^{|j-i|} = \exp[|j-i| \ln(\cos \theta)] = \exp\left[-\frac{|j-i|}{\xi_p}\right]$$

↑
δειχθέντων πτωχών
όταν $\vec{r}_i - \vec{r}_j$ μεγάλο

↑
~ persistence length

$$\begin{aligned} \sum_{i=1}^N \left(\sum_{k=1}^{i-1} \cos^k \theta + \sum_{k=1}^{N-i} \cos^k \theta \right) &\stackrel{\text{(αυτοκαθίστην κίτριες σε k)}}{\sim} 2 \sum_{i=1}^N \sum_{k=1}^{\infty} \cos^k \theta = 2N \sum_{k=1}^{\infty} \cos^k \theta \\ &= 2N \frac{\cos \theta}{1 - \cos \theta} \end{aligned}$$

$\xi_p = -\frac{1}{\ln(\cos \theta)}$

(6)

Εξέλιξις: $\langle R^2 \rangle = Nl^2 + 2Nl^2 \frac{\cos \theta}{1 - \cos \theta}$

$$= Nl^2 \frac{1 + \cos \theta}{1 - \cos \theta} = C_{\infty} Nl^2$$

Για καμπυρή με κύρια αλυσίδα κροταλαίωμα και μονός δεσμός C, έχου κατά μέσο όρο $\theta = 68^\circ$

$$\Rightarrow C_{\infty} = \frac{1 + \cos \theta}{1 - \cos \theta} \approx 2 \quad \text{και} \quad \nu_p \approx 1$$

Η πιο ευέλικτη αλυσίδα είναι η ελεύθερα περιστρεφόμενη αλυσίδα.
 $C_{\infty} > 2$ για ευέλικτα λίκυ στεγνής παρεμβόλης.